

บทที่ ๓

วิธีการวิจัย

ขั้นตอนของการศึกษาประกอบด้วย

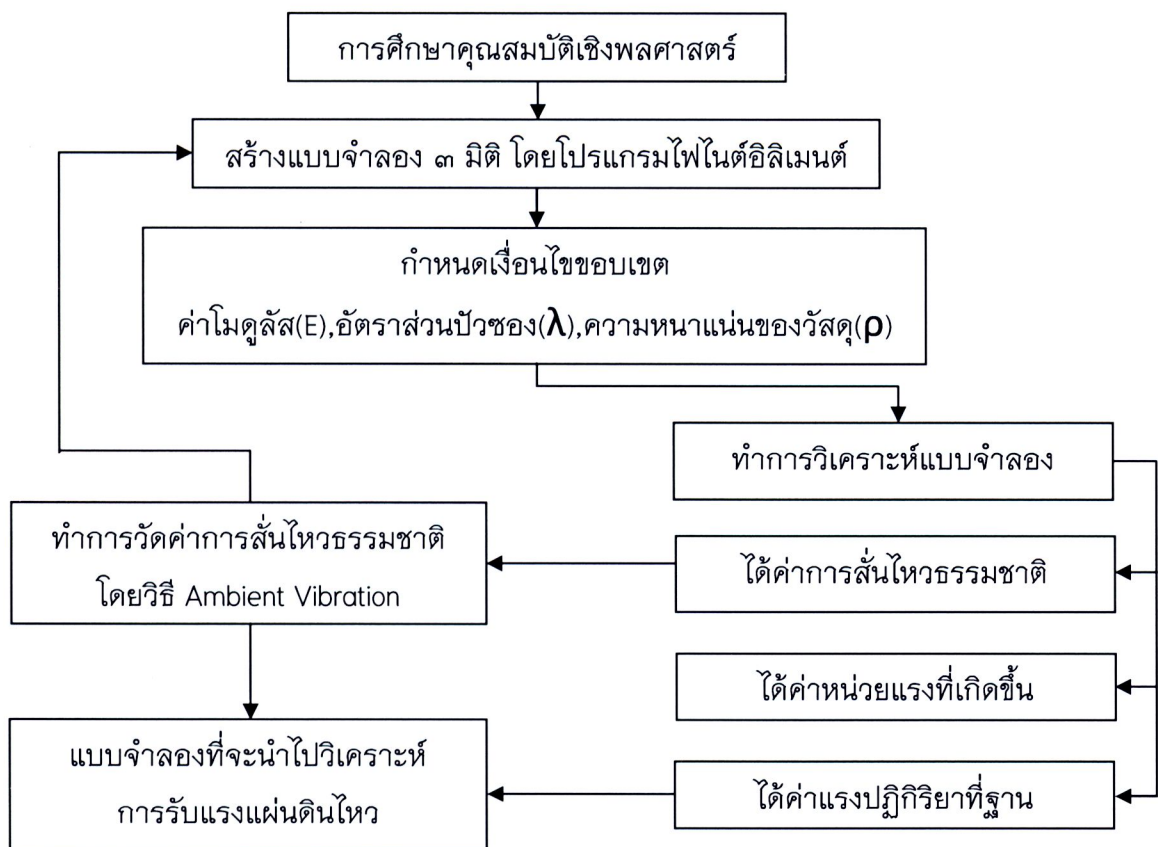
ส่วนที่ ๑. การศึกษารูปทรง และการจัดกลุ่ม

ส่วนที่ ๒. การศึกษาพฤติกรรมการรับแรงแผ่นดินไหว ซึ่งได้คัดเลือกเจติย์พระธาตุดอยสุเทพเป็นกรณีศึกษา โดยมีขั้นตอนประกอบด้วย

๑. การศึกษาคุณสมบัติเชิงพลศาสตร์ (รูปที่ ๓.๑)

๑.๑ การศึกษาคุณสมบัติโดยการวิเคราะห์ไฟโนร์มิเมนต์

๑.๒ การศึกษาโดยการวัดโดยวิธี Ambient Vibration



รูป ๓.๑ แผนผังแสดงขั้นตอนการศึกษาสมบัติเชิงพลศาสตร์

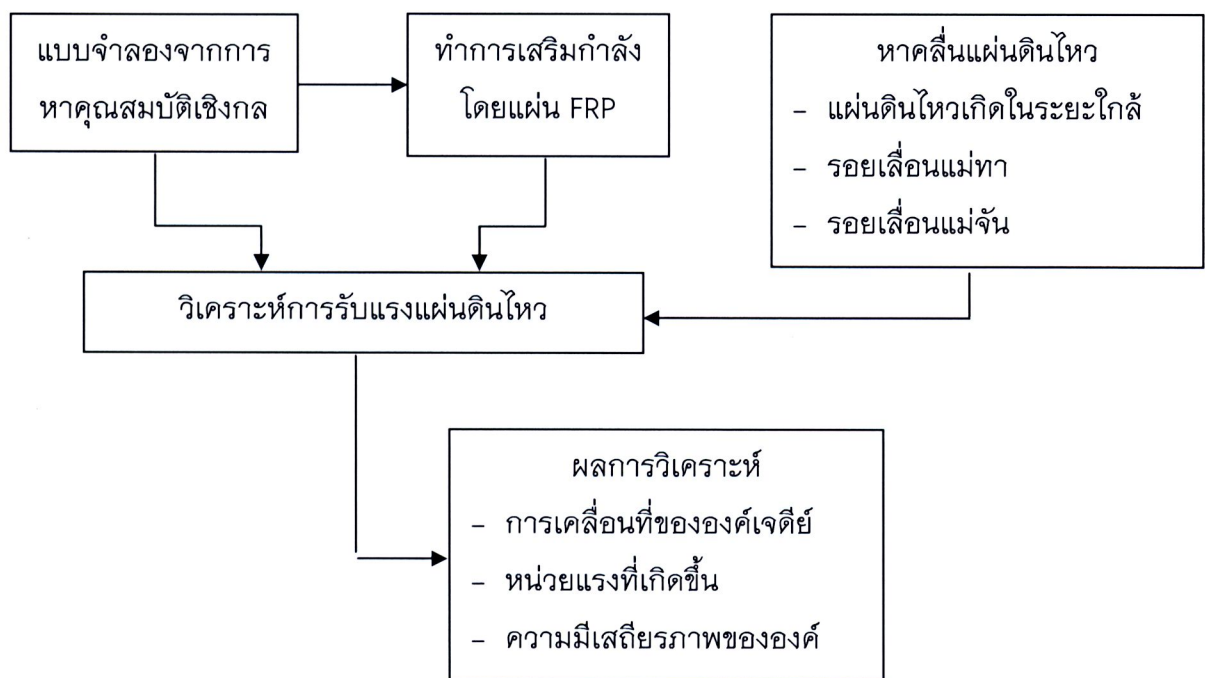
๒. การวิเคราะห์การรับแรงแผ่นดินไหว (รูปที่ ๓.๒)

๒.๑ การคัดเลือกคลื่นแผ่นดินไหว

๒.๒ การวิเคราะห์โดยไฟโนต์อิลิเมนต์เชิงเส้น

๒.๓ ทำการเสริมกำลังองค์เจดีย์แล้วทำการวิเคราะห์

การวิเคราะห์การรับแรงแผ่นดินไหว

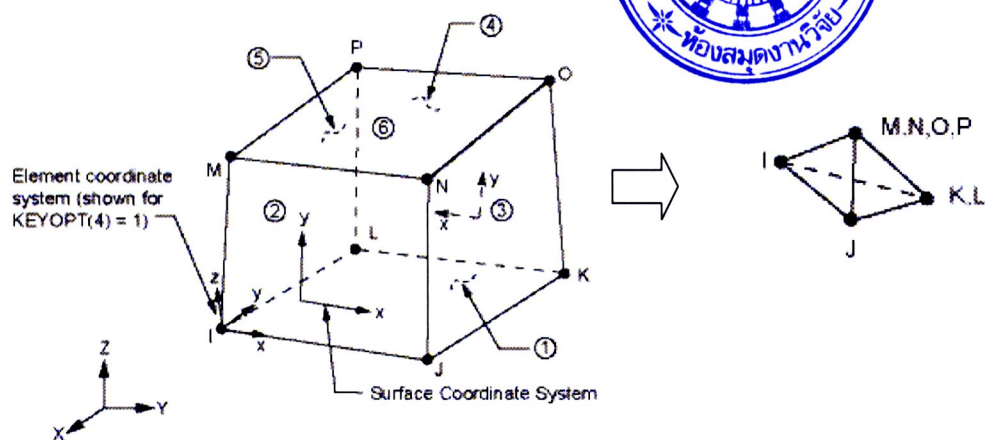


รูป ๓.๒ แผนผังแสดงขั้นตอนการวิเคราะห์การรับแรงแผ่นดินไหว

๓. การศึกษาคุณสมบัติเชิงพลศาสตร์

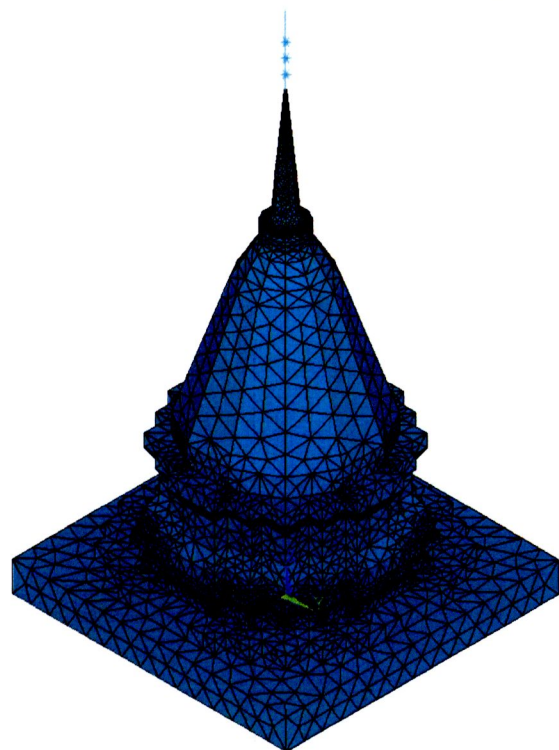
๓.๑ การศึกษาโดยการวิเคราะห์ไฟโนต์อิลิเมนต์

เจดีย์ดอยสุเทพเป็นเจดีย์ทรงระฆัง ซึ่งมีพื้นที่ฐานเป็นรูปสี่เหลี่ยมจัตุรัส กว้างด้านละ ๑๐.๒๕ เมตร ความสูงขององค์เจดีย์ทั้งหมดตั้งแต่ฐานถึงยอดฉัตร ๒๒.๓๗ เมตร ฐานของคําระฆัง เป็นรูป ๑๙ เหลี่ยมน้ำหนักที่ใช้คิดจากรูปทรงขององค์เจดีย์คูณกับหน่วยน้ำหนัก มีน้ำหนัก เท่ากับ ๑๓๓.๑๘ ตัน การวิเคราะห์จะเป็นแบบเชิงเส้น ไม่คำนึงถึงรอยแตกที่มีอยู่ สมมุติให้ องค์เจดีย์อยู่ในสภาพสมบูรณ์ ที่ฐานขององค์เจดีย์ไม่มีการยึดรังเข็มแบบ hinge support โดย U_x, U_y, U_z เท่ากับ ศูนย์

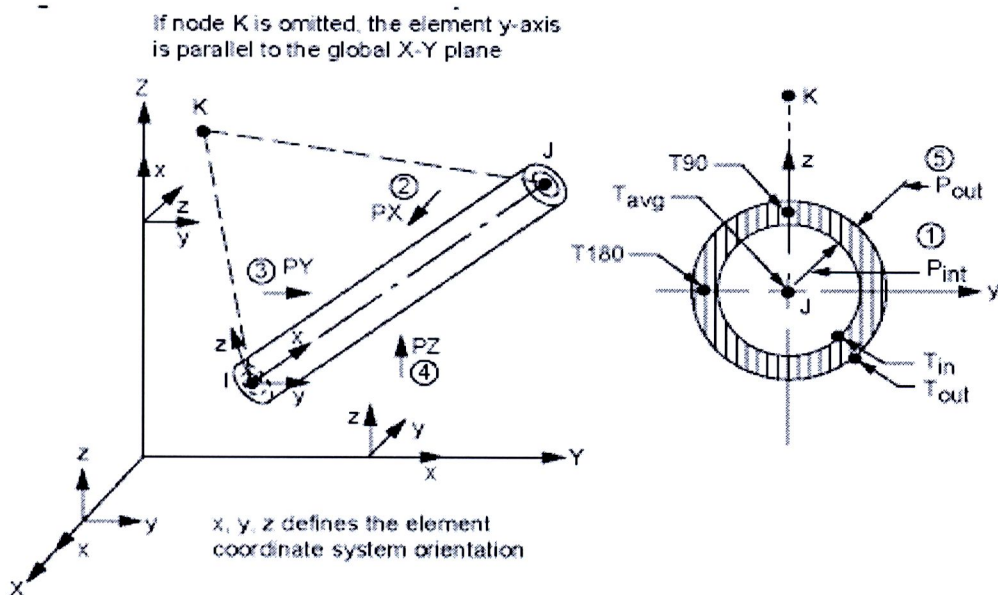


รูป ๓.๓ Solid element (ANSYS๓, ๑๐๑๐)

แบบจำลองไฟโนร์อิลิเมนต์ในรูป ๓ มิติ จำลองในส่วนของเจดีเย็ตตัดส่วนที่เป็นรูปแบบทางสถาปัตยกรรมออก เลือกใช้อิลิเมนต์แบบ Solid Element ในแต่ละอิลิเมนต์ประกอบไปด้วย ๘ จุดต่อ รูปทรง Tetrahedral ดังในรูป ๓.๓ ในแต่ละจุดต่อมี ๓ ดีกรีอิสระ (Degree-of-freedom, DOF) คือ การเคลื่อนที่แบบเลื่อน (Translation) ในทิศทาง x, y และ z แบบจำลองมีจำนวนชิ้นส่วน ๕๖,๕๐๖ ชิ้นส่วน โดยมีจำนวนจุดต่อทั้งหมด ๑๑,๗๗๐ จุดต่อ ดังในรูป ๓.๔



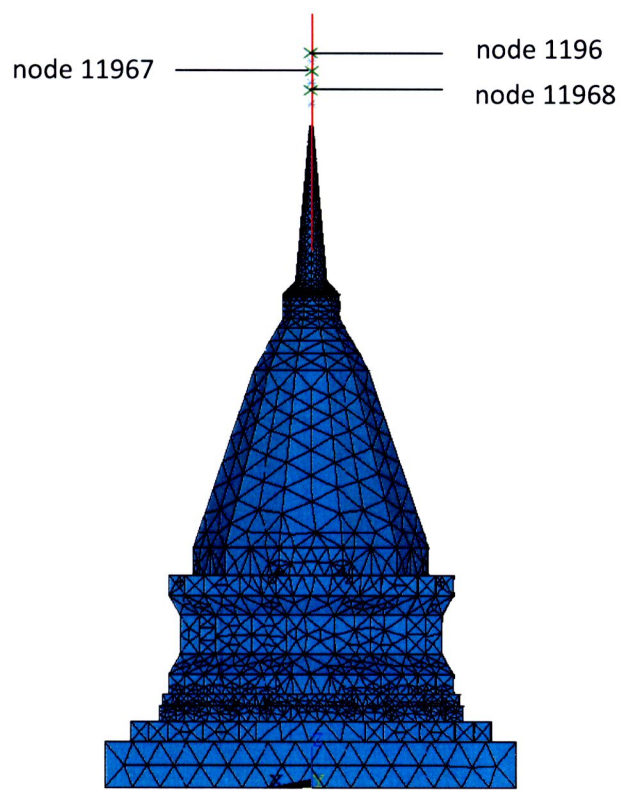
รูป ๓.๔ แบบจำลองไฟโนร์อิลิเมนต์เจดีเย็ตตัดส่วนที่เป็นรูปแบบทางสถาปัตยกรรม



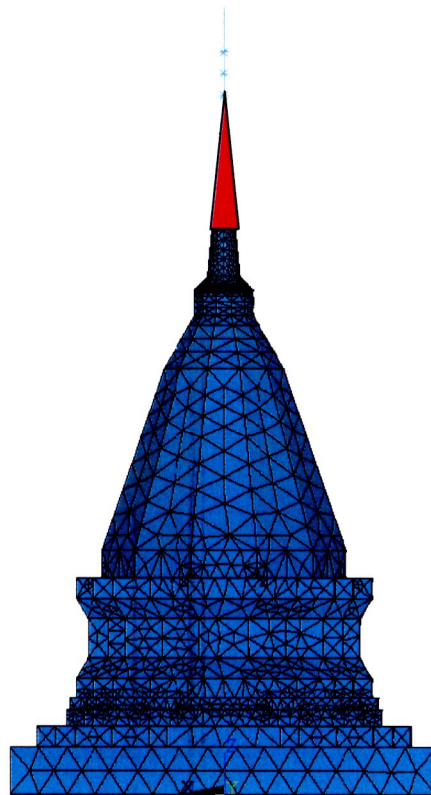
รูป ๓.๕ Pipe element (ANSYS ๓, ๑๐๑๐)

ส่วนก้านฉัตรนี้จะเป็นเหล็กกลวงขนาดเส้นผ่านศูนย์กลาง ๓ มม ผังเข้าไปในยอดเจดีเยดิจิตอลจะใช้อิลิเมนต์แบบ Pipe Element ในแต่ละอิลิเมนต์ประกอบไปด้วย ๒ จุดต่อ ดังรูป ๓.๕ ส่วนฉัตรจำลอง lump mass ติดอยู่บนก้านฉัตร ที่ตำแหน่ง node ๑๗๙๗, ๑๗๙๘ และ ๑๗๙๖ โดยมีน้ำหนัก ๒๐, ๑๐ และ ๕ กิโลกรัม ตามลำดับ ดังแสดงในรูป ๓.๖ โดยรวมมีน้ำหนักฉัตรที่ ๓๕ กิโลกรัม

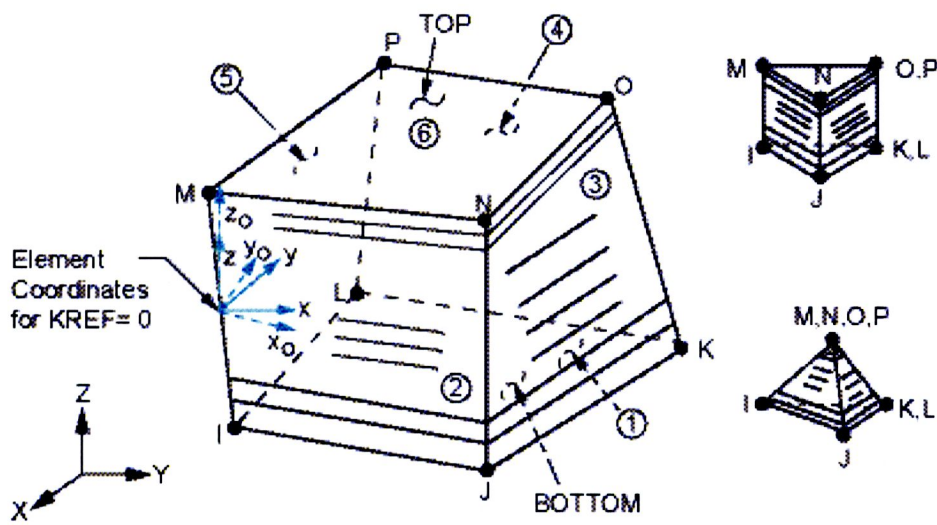
ส่วนแผ่นคาร์บอนไฟเบอร์(FRP) มีขนาดความหนา ๓ mm. เส้นใยมีการจัดเรียงกันในทิศทางตั้งฉากกัน โดยทำการพันรอบปล้องโดยนัดดังรูป ๓.๗ ใช้อิลิเมนต์แบบ Solid Element ในแต่ละอิลิเมนต์ประกอบไปด้วย ๘ จุดต่อ คล้าย Solid Element ขององค์เจดีเยดิจิตอลแต่จะต่างกันที่ใน Solid Element จะมีการแบ่งเป็นชั้นๆดังรูป ๓.๘



รูป ๓.๖ ตำแหน่งมวลที่ก้านฉัตร



รูป ๓.๗ ตำแหน่งการเสริมกำลังด้วยแผ่นคาร์บอนไฟเบอร์



รูป ๓.๙ Solid element (ANSYS๑๓, ๒๐๑๐)

คุณสมบัติของวัสดุ

โดยทั่วไปโครงสร้างเจดีย์ส่วนมากใช้อิฐเป็นวัสดุหลักในการก่อสร้าง ในการศึกษานี้ได้ตั้งสมมุติฐานว่าวัสดุถูกอ้อยในสภาพสมบูรณ์

คุณสมบัติของปริซึมอิฐก่อที่ใช้ในการวิเคราะห์ได้จากการทดสอบปริซึมอิฐในจังหวัดเชียงใหม่ (สุภาวดี, ๒๕๔๔) ดังนี้

- ค่าโมดูลัสยืดหยุ่นเท่ากับ ๑,๐๐๐ เมกะปาสกาล
- ค่าอัตราส่วนปัวของเท่ากับ ๐.๑๕
- มวลต่อปริมาตรเท่ากับ ๑,๘๐๐ กก/ลบ.ม.
- กำลังอัดประดับเท่ากับ ๒.๖๘ เมกะปาสกาล
- กำลังดึงประดับเท่ากับ ๐.๒๗ เมกะปาสกาล (คิดเป็นร้อยละ ๑๐ ของกำลังอัดประดับ)

คุณสมบัติของเหล็กมีค่าดังนี้

- ค่าโมดูลัสยืดหยุ่นเท่ากับ ๒๐๐ จิกะปาสกาล
- ค่าอัตราส่วนปัวของเท่ากับ ๐.๓๐
- มวลต่อปริมาตรเท่ากับ ๗,๘๕๐ กก/ลบ.ม.
- กำลังดึงประดับเท่ากับ ๒๓๕.๔๔ เมกะปาสกาล

คุณสมบัติของแผ่นคาร์บอนไฟเบอร์ (มยพ. ๑๕๐๔-๕๑) มีค่าดังนี้

- ค่าโมดูลัสยืดหยุ่นเท่ากับ ๖๓.๙๙ จิกะปาสกาล

- ค่าอัตราส่วนปั๊วซองเท่ากับ ๐.๒๒
- มวลต่อปริมาตรเท่ากับ ๑,๘๐๐ กก./ลบ.ม.
- กำลังดึงประลัยเท่ากับ ๖๔๑.๒ เมกะปาสกาล

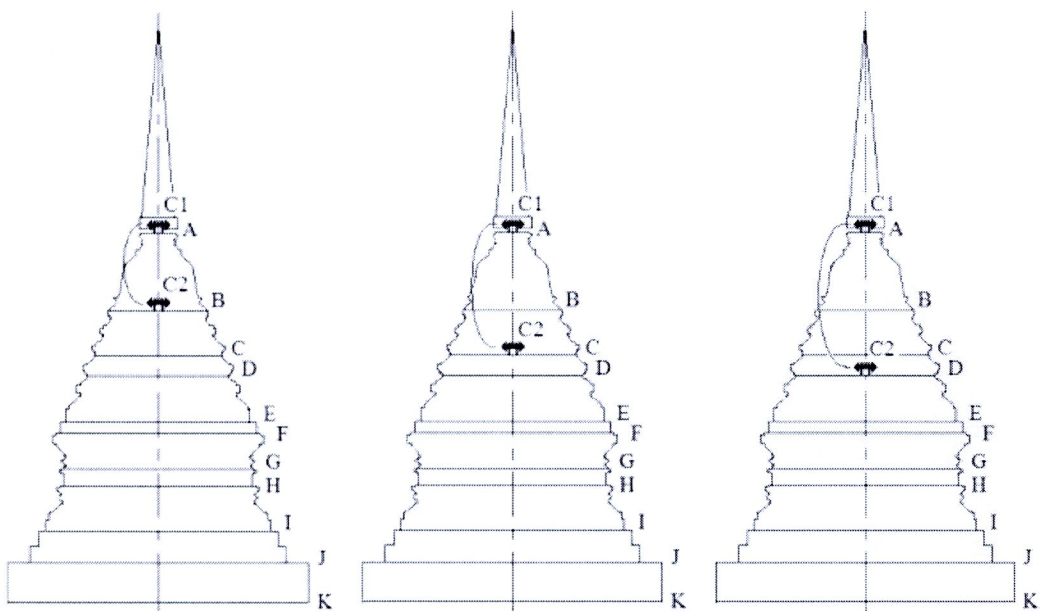
๓.๑.๒ การตรวจวัดด้วยวิธี Ambient Vibration

๓.๑.๒.๑ การตรวจวัดความถี่ธรรมชาติ (Natural Frequency)

สำหรับการตรวจวัดได้กระทำการเช่นเดียวกันกับ กรณีอาคารที่แบ่งความสูงเป็นระดับชั้น เครื่องมือที่ใช้ตรวจวัดการสั่นไหวจะติดตั้งที่ชั้นบนสุดของโครงสร้าง ในการตรวจวัดองค์เจตีย์ ได้ติดไว้ที่ระดับความสูง A ดังรูป ๓.๙ สัญญาณความเร่งที่วัดได้จะอยู่ในรูปของความเร่งเทียบ กับเวลาเวลา (time domain) และทำการปรับสัญญาณเบื้องต้น เช่น การปรับค่าเฉลี่ยของ สัญญาณให้เป็นศูนย์ การเพิ่มความยาวของข้อมูลด้วยเลขศูนย์ เพื่อให้เหมาะสมกับการแปลง สัญญาณในชั้นตอนต่อไป หลังจากนั้นสัญญาณในรูปของ Time Domain จะถูกแปลงเป็น Frequency Domain โดยวิธี Fourier Transform การหาค่าความถี่ธรรมชาติพิจารณาที่จุดยอด ของกราฟ Fourier Amplitude (Fourier Amplitude)

๓.๑.๒.๒ การตรวจวัดรูปแบบการสั่นไหวธรรมชาติ (Vibration Mode Shape)

การตรวจวัดรูปแบบการสั่นไหวธรรมชาติ (Vibration Mode Shape) สำหรับอาคารจะมี การวางแผนหัววัดเพิ่มถัดลงมาตามระดับชั้นต่างๆ สำหรับองค์เจตีย์ตำแหน่งที่ทำการวัดคือ ตำแหน่ง “B” ไล่ลงมาจนถึงตำแหน่ง “K” ดังรูป ๓.๙ โดย วางแผนหัววัดชุดที่ ๑ ที่ตำแหน่ง “A” และวางแผนหัววัดชุดที่ ๒ ที่ตำแหน่ง “B” จากนั้นทำการบันทึกสัญญาณ แล้วย้ายหัววัดชุดที่ ๒ ลง มาอีกระดับล่างที่ตำแหน่ง “C” จนถึงระดับล่างสุดคือตำแหน่ง “K” เพื่อเป็นการหารูปแบบการ สั่นไหวของอาคารในลักษณะการเคลื่อนที่ (Translation) โดยพิจารณาจากขนาดและทิศทางการ เคลื่อนที่ระหว่างหัววัด หรือความต่างเพล ของ Fourier Magnitude ที่คำนวณได้จากข้อมูลที่ ตรวจวัด ขนาดของ Fourier Magnitude จะมีขนาดสูงกว่าในกรณีที่เป็นทิศทางการเคลื่อนที่หลัก ของความถี่นั้น



รูป ๓.๘ ตำแหน่งการ量หัววัดสำหรับการตรวจวัดการสั่นไหวธรรมชาติ

ตาราง ๓.๑ ระดับความสูง (H) และเส้นผ่านศูนย์กลาง (D) ของเจดีย์ในตำแหน่งที่ทำการตรวจวัด

ตำแหน่ง	ระดับความสูง (H) เมตร	เส้นผ่านศูนย์กลาง (D) เมตร
A	๑๔.๖๖	๑.๓๙
B	๑๑.๗๕	๑.๐๕
C	๙.๗๒	๑.๑๖
D	๙.๑๓	๑.๑๒
E	๗/๑๒	๗/๘๗
F	๖.๘๐	๘.๑๐
G	๕.๓๖	๗/๓๗
H	๔.๖๖	๗/๘๗
I	๒.๖๖	๙.๑๒
J	๑.๖๐	๑๒.๑๐
K	๐.๐๐	๑๒.๑๐

๓.๒ การวิเคราะห์การรับแรงแผ่นดินไหว

๓.๒.๑ การหาคลื่นแผ่นดินไหว

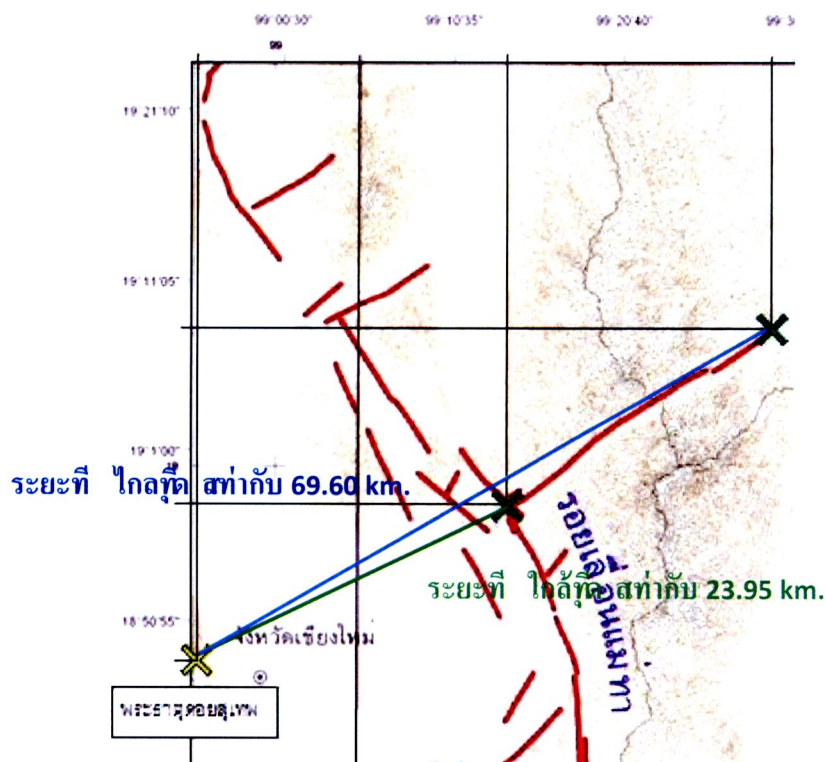
การหาคลื่นแผ่นดินไหวที่คาดว่าอาจจะเกิดขึ้นได้ในพื้นที่จังหวัดเชียงใหม่ โดยการพิจารณาจากคลื่นแผ่นดินไหวที่เคยเกิดขึ้นแล้วในอดีตทั้งนี้แผ่นดินไหวที่เลือก จะแบ่งออกเป็น ๓ รูปแบบคือ ๑. เกิดแผ่นดินไหวขึ้นในระยะใกล้ โดยเกิดขึ้นบริเวณพื้นที่ที่ทำการวิเคราะห์ไม่เกิน ๑๐ กิโลเมตร ซึ่งไม่สนใจว่ามีประวัติการเกิดแผ่นดินไหวหรือมีรอยเลื่อนหรือไม่ ๒. แผ่นดินไหวเกิดจากการอยู่เลื่อนที่มีประวัติการเกิดแผ่นดินไหว ที่มีระยะใกล้กับพื้นที่ที่ทำการวิเคราะห์ที่สุด และ ๓. แผ่นดินไหวที่มีขนาดแรงมากที่สุด ที่เกิดจากการอยู่เลื่อนบริเวณทำการวิเคราะห์ โดยมีขั้นตอนหาคลื่นแผ่นดินไหวดังนี้

๑. ทำการพิกัดของจุดที่ต้องการศึกษาในที่นี่คือ พระธาตุดอยสุเทพ โดยอยู่ในพิกัดที่ ละติจูด ๑๙°๔๘'๑๗"N ลองจิจูด ๙๙°๕๕'๑๔"E

๒. เลือกรอยเลื่อนที่ใช้ในการวิเคราะห์จาก

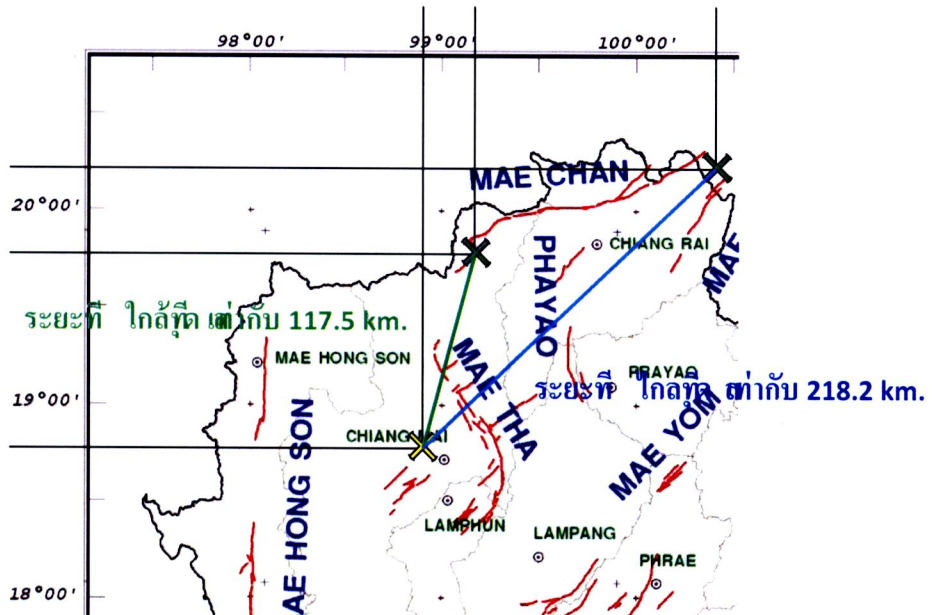
- ๒.๑ รอยเลื่อนที่ใกล้ที่สุดมีระยะทางระหว่างตำแหน่งของพระธาตุดอยสุเทพกับรอยเลื่อนที่คาดว่าจะเป็นแหล่งกำเนิดแผ่นดินไหว ในการศึกษานี้เลือกใช้รอยเลื่อนแม่ทา

ดังรูป ๓.๑๐



รูป ๓.๑๐ ตำแหน่งเจดีย์พระธาตุดอยสุเทพถึงรอยเลื่อนแม่ทา (<http://www.dmr.go.th>)

๒.๒ รอยเลื่อนที่รุนแรงที่สุดที่อยู่ในเขตภาคเหนือตอนบน ในการศึกษานี้เลือกใช้
รอยเลื่อนแม่จัน ดังรูป ๓.๑๑



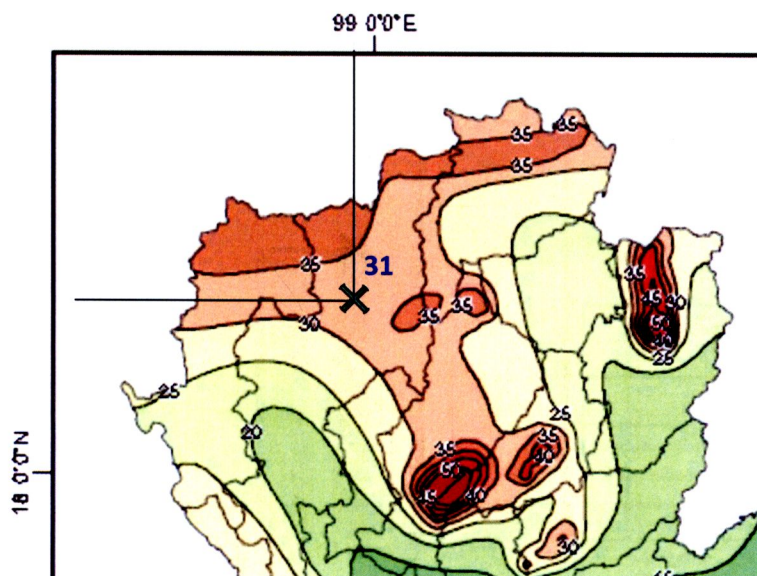
รูป ๓.๑๑ ตำแหน่งเจดีย์พระธาตุดอยสุเทพถึงรอยเลื่อนแม่จัน (<http://www.dmr.go.th>)
จากทั้ง ๒ กรณีตำแหน่งของรอยเลื่อนและระยะทางระหว่างเจดีย์พระธาตุดอยสุเทพถึง
รอยเลื่อน แสดงในตาราง ๓.๒

ตาราง ๓.๒ ระยะทางระหว่างเจดีย์พระธาตุดอยสุเทพถึงรอยเลื่อน

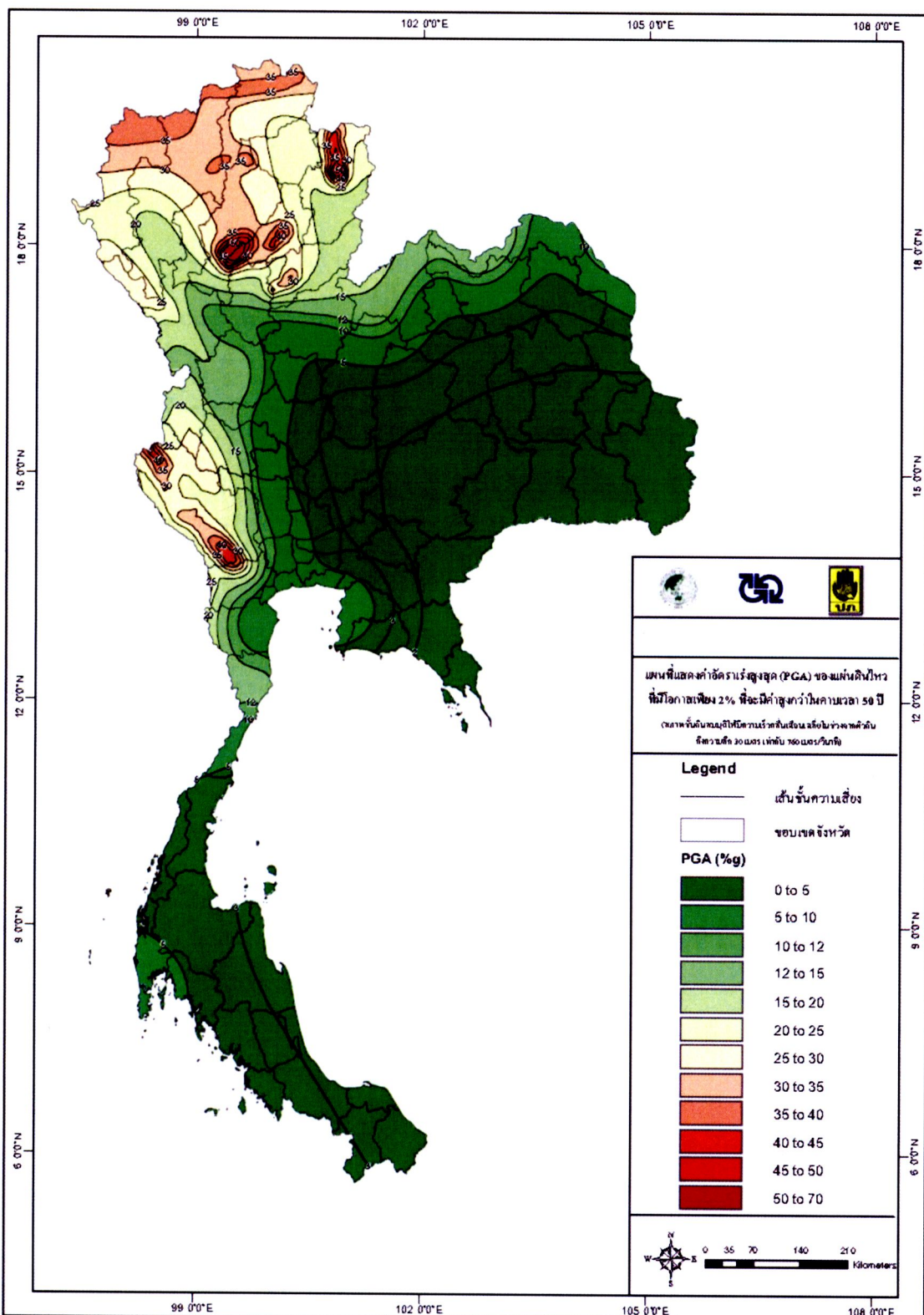
สถานที่	พิกัด		ระยะทาง (km.)
	ละติจูด (N)	ลองจิจูด (E)	
เจดีย์พระธาตุดอยสุเทพ	๗๙° ๔๘' ๓๗"	๙๘° ๕๕' ๑๑"	-
รอยเลื่อนแม่ทา (โกลทีสุด)	๗๙° ๔๓' ๓๓"	๙๘° ๑๓' ๔๔"	๒๓.๙๔
รอยเลื่อนแม่ทา (โกลทีสุด)	๗๙° ๐๘' ๓๓"	๙๘° ๔๘' ๔๐"	๖๙.๖๐
รอยเลื่อนแม่จัน (โกลทีสุด)	๗๙° ๔๐' ๓๓"	๙๘° ๐๓' ๔๔"	๑๑๗.๕๕
รอยเลื่อนแม่จัน (โกลทีสุด)	๙๐° ๑๗' ๓๓"	๙๐๐° ๑๖' ๔๐"	๒๑๘.๒

๓. หาค่า PGA

โดยเลือกใช้แผนที่แสดงอัตราการเร่งพื้นดินสูงสุด (PGA) ที่มีโอกาสเกิดขึ้น ๒% ที่จะมีค่าสูงกว่าในคาบ ๕๐ ปี สาเหตุที่เลือก ๒% เพราะเจตีย์ดอยสุเทพเป็นสถานที่ที่สำคัญจึงต้องเลือกแผ่นดินไหวขนาดใหญ่ที่สุดที่จะเกิดได้มาทำการศึกษา จากรูป ๓.๑๙ และ ๓.๑๓ ได้ค่าอัตราการเร่งพื้นดินสูงสุด (PGA) เท่ากับ ๓๑% หรือ ๐.๓๑เท่าของความเร่งโน้มถ่วงของโลก



รูป ๓.๑๙ แผนที่ล้วนขยายบริเวณจังหวัดเชียงใหม่แสดงค่าอัตราเร่งสูงสุด (PGA) ของแผ่นดินไหวที่มีโอกาสเพียง ๒ % ที่จะมีค่าสูงกว่าในคาบเวลา ๕๐ ปี (<http://www.dmr.go.th>)



รูป ๓.๑๓ แผนที่แสดงค่าอัตราเร่งสูงสุด (PGA) ของแผ่นดินไหวที่มีโอกาสเพียง ๒% ที่จะมีค่าสูงกว่าในcabเวลา ๕๐ ปี (<http://www.dmr.go.th>)

๔. นำข้อมูลที่ได้มาไปหาคลื่นแผ่นดินไหวที่คล้ายคลึงกันที่เคยเกิดขึ้นในอดีตในพื้นที่ต่างๆ โดยพิจารณาคัดกรองข้อมูลจากปัจจัยดังนี้

- ระยะทาง
- ขนาดแผ่นดินไหว
- ค่าอัตราเร่งสูงสุด PGA (รอยเลื่อนแม่น้ำจะทำการลดค่าอัตราเร่งสูงสุดจาก ๐.๓๑๐ เป็น ๐.๑๖๒๔ เนื่องจากการลดTHONของพลังงานที่เป็นผลมาจากการระเบิดที่มากขึ้น)

ตาราง ๓.๓ ข้อมูลที่นำไปหาคลื่นแผ่นดินไหวที่คล้ายคลึง

รอยเลื่อน	ระยะทาง (กิโลเมตร)	ขนาดแผ่นดินไหว (ริกเตอร์)	ค่าอัตราเร่งสูงสุด (g)
แผ่นดินไหวเกิดในระยะใกล้	๐ - ๑๐	๖.๐ - ๖.๕	๐.๓๑๐
รอยเลื่อนแม่น้ำ	๒๐ - ๓๐	๕.๐ - ๖.๕	๐.๓๑๐
รอยเลื่อนแม่น้ำ	๑๑๐ - ๒๒๐	๖.๕ - ๗.๕	๐.๑๖๔

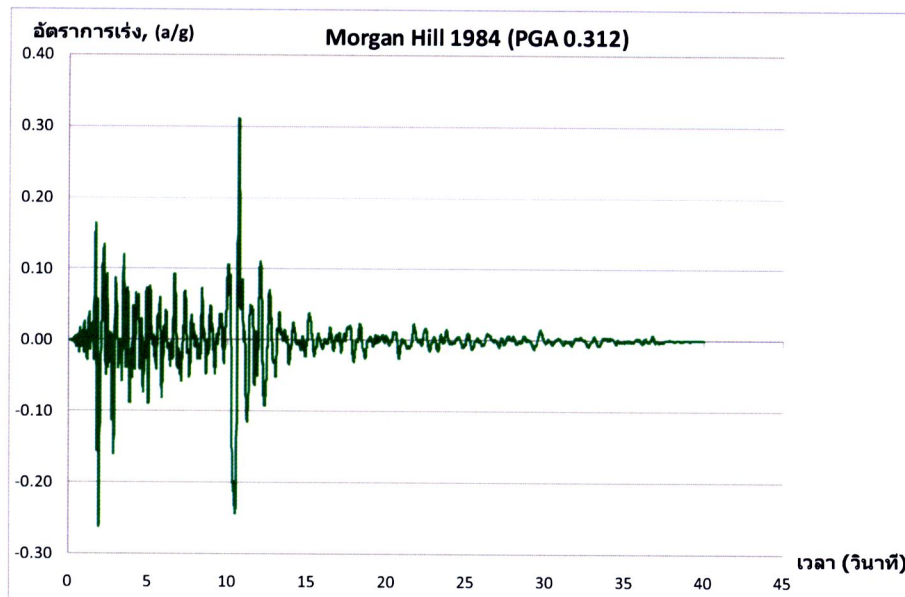
หมายเหตุ ขนาดแผ่นดินไหวมาจากข้อมูลแผ่นดินไหว (<http://www.seismology.tmd.go.th>)

เมื่อนำข้อมูลจากตาราง ๓.๓ ไปหาคลื่นจาก <http://peer.berkeley.edu/smcat/search.html>

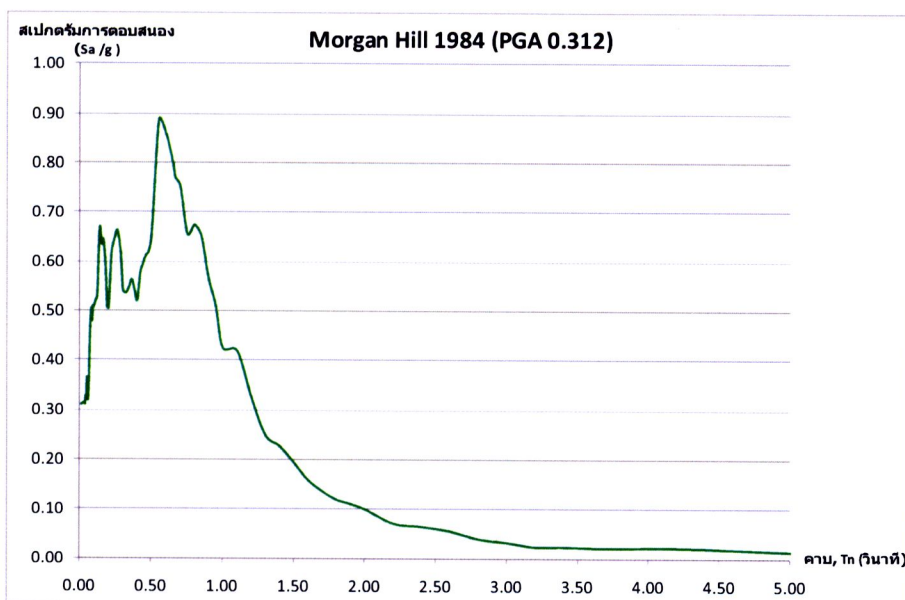
ซึ่งเป็นเวปไซต์ที่รวบรวมคลื่นแผ่นดินไหว โดยเลือกคลื่นที่คล้ายคลึงจากการระเบิด ขนาดแผ่นดินไหว และค่าอัตราเร่ง คลื่นที่ได้แสดงในตาราง ๓.๔ และรูปที่ ๓.๑๔-๓.๑๖

ตาราง ๓.๔ คลื่นแผ่นดินไหวที่คล้ายคลึงที่ใช้ในการศึกษา

รอยเลื่อน	คลื่นที่ได้	ระยะทาง (กิโลเมตร)	ขนาด แผ่นดินไหว (ริกเตอร์)	ค่าอัตราเร่ง สูงสุด (g)
แผ่นดินไหวเกิดในระยะใกล้	Morgan Hill	๓.๔	๖.๒	๐.๓๑๒
รอยเลื่อนแม่น้ำ	Imperial Valley	๒๓.๖	๖.๕	๐.๓๐๙
รอยเลื่อนแม่น้ำ	Kocaeli, Turkey	๑๓๖.๓	๗.๕	๐.๑๐๓

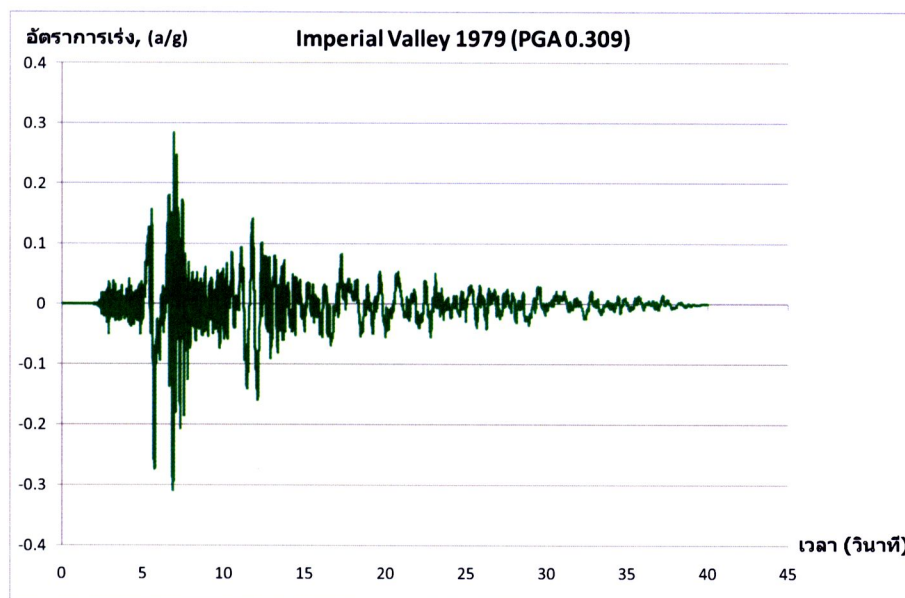


(ก) คลื่นอัตราเร่งของพื้นดิน (PGA ๐.๓๑๒)

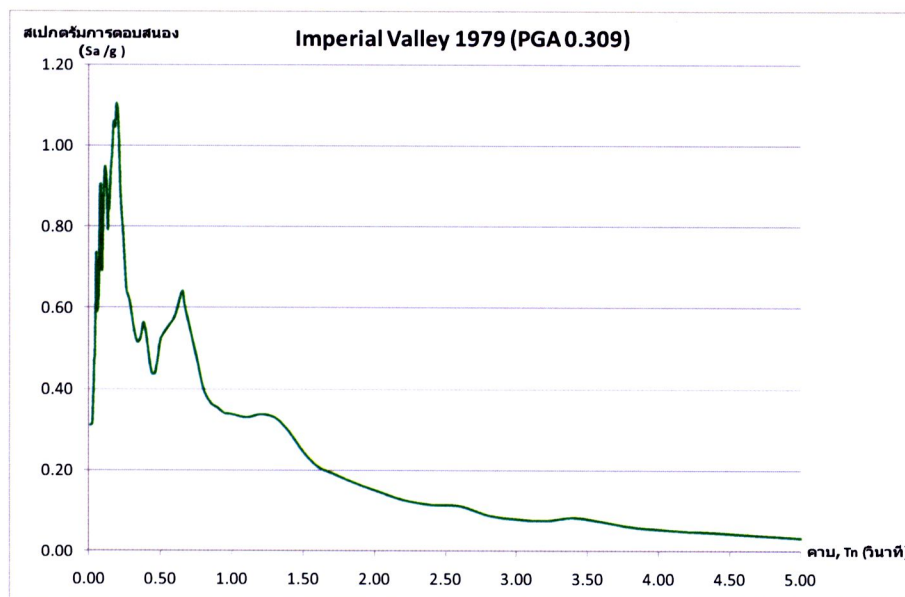


(ข) สเปกตรัมการตอบสนอง(damping ๕%)

รูป ๓.๑๔ คลื่นเหตุการณ์แผ่นดินไหว Morgan Hill 1984 กรณีแผ่นดินไหวเกิดในระยะใกล้



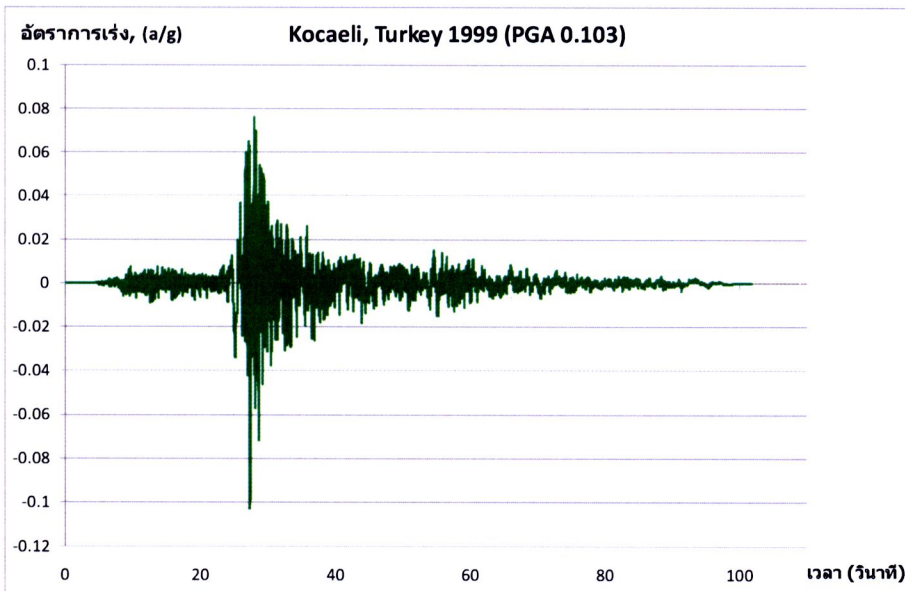
(ก) คลื่นอัตราเร่งของพื้นดิน (PGA 0.309)



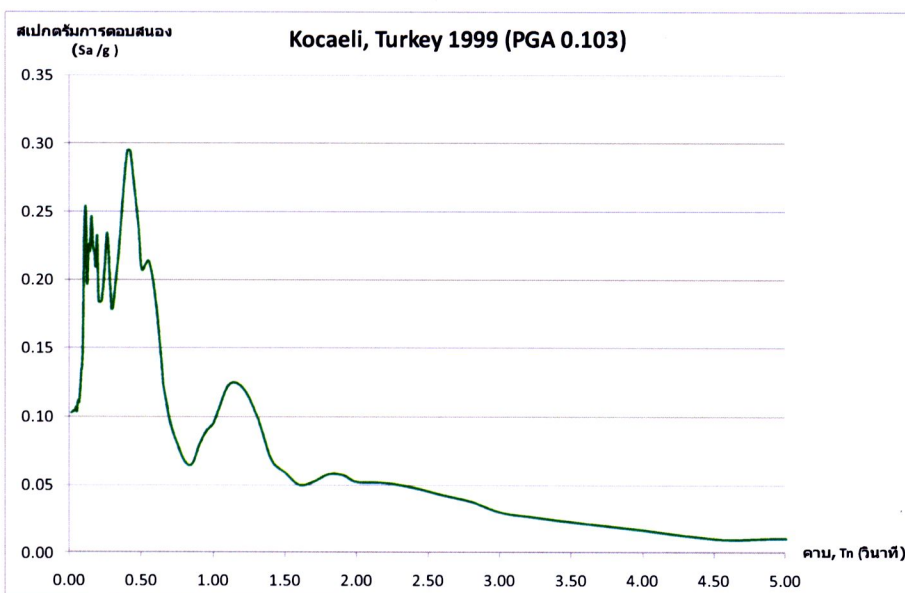
(ข) สเปกตรัมการตอบสนอง(damping ๕%)

รูป ๓.๑๕ คลื่นเหตุการณ์แผ่นดินไหว Imperial Valley 1979

กรณีแผ่นดินไหวจากกรอยเลื่อนแม่ท่า



(ก) คลื่นอัตราเร่งของพื้นดิน (PGA 0.103)



(ข) สเปกตรัมการตอบสนอง(damping ๕%)

รูป ๓.๑๖ คลื่นเหตุการณ์แผ่นดินไหว Kocaeli, Turkey 1999

กรณีแผ่นดินไหวจากการอยเลื่อนแม่จัน

๔. สร้างสเปกตรัมการตอบสนองในพื้นที่วิเคราะห์จาก มาตรฐานกรมโยธาธิการและผังเมือง (มยพ.๑๓๐๒)

๔.๑ หาค่าความเร่งเชิงสเปกตรัมที่ควบลั่นจาก มยพ.๑๓๐๒

- ค่าความเร่งเชิงสเปกตรัมที่ควบลั่น (S_s) = ๐.๘๗๙ g
- ค่าความเร่งเชิงสเปกตรัมที่ควบ ๑ วินาที (S_1) = ๐.๒๔๔ g

๔.๒ โครงสร้างตั้งอยู่บนชั้นดินประเภท D

๔.๓ สร้างสเปกตรัมสำหรับการออกแบบด้วยวิธีผลศาสตร์

ค่าล้มประสิทธิ์สำหรับชั้นดินที่ ณ ที่ตั้งอาคาร F_a และ F_v หาได้จากตาราง ๓.๕ และ

๓.๖ ตามลำดับ

ตาราง ๓.๕ ค่าล้มประสิทธิ์สำหรับชั้นดินที่ ณ ที่ตั้งอาคาร F_a

ประเภทของ ชั้นดิน	ค่าความเร่งตอบสนองเชิงสเปกตรัมของแผ่นดินให้วรุนแรงสูงสุดที่พิจารณาที่ ควบ ๐.๒ วินาที (g)				
	$S_s \leq 0.15$	$S_s = 0.15$	$S_s = 0.35$	$S_s = 1.0$	$S_s \geq 1.15$
A	๐.๙	๐.๙	๐.๙	๐.๙	๐.๙
B	๑.๐	๑.๐	๑.๐	๑.๐	๑.๐
C	๑.๒	๑.๒	๑.๑	๑.๐	๑.๐
D	๑.๑	๑.๑	๑.๑	๑.๑	๑.๐
E	๒.๕	๑.๗	๑.๗	๐.๙	๐.๙
F	จำเป็นต้องทำการวิเคราะห์การตอบสนองของดินเป็นกรณีๆไป				

ตาราง ๓.๙ ค่าสัมประสิทธิ์สำหรับชั้นดินที่ ณ ที่ตั้งอาคาร F_V

ประเภทของ ชั้นดิน	ค่าความเร่งตอบสนองเชิงスペกตรัมของแผ่นดินไหวรุนแรงสูงสุดที่พิจารณาที่ คาบ ๑.๐ วินาที (g)				
	$S_s \leq 0.1$	$S_s = 0.1$	$S_s = 0.3$	$S_s = 0.5$	$S_s \geq 0.5$
A	๐.๗	๐.๗	๐.๗	๐.๗	๐.๗
B	๑.๐	๑.๐	๑.๐	๑.๐	๑.๐
C	๑.๗	๑.๖	๑.๕	๑.๔	๑.๓
D	๒.๔	๒.๐	๑.๘	๑.๖	๑.๔
E	๓.๕	๓.๑	๒.๘	๒.๔	๒.๔
F	จำเป็นต้องทำการวิเคราะห์การตอบสนองของดินเป็นกรณีๆไป				

- ค่าสัมประสิทธิ์สำหรับชั้นดิน ณ ที่ตั้งอาคารสำหรับคาบการสั่น ๐.๑ วินาที (F_a) = ๑.๑๕

- ค่าสัมประสิทธิ์สำหรับชั้นดิน ณ ที่ตั้งอาคารสำหรับคาบการสั่น ๑.๐ วินาที (F_a) = ๑.๙๐

๓.๔ ค่าความเร่งตอบสนองเชิงスペกตรัมที่ปรับแก้แล้ว

$$S_{MS} = F_a S_S \quad \dots\dots\dots(3.1)$$

$$S_{M1} = F_V S_1 \quad \dots\dots\dots(3.2)$$

โดยที่

S_{MS} = ค่าความเร่งตอบสนองเชิงスペกตรัมที่คาบการสั่น ๐.๑ วินาที ที่ถูกปรับแก้เนื่องจากผลของชั้นดิน ณ ที่ตั้งอาคาร หน่วยเป็น ความเร่งจากแรงโน้มถ่วงโลก (g)

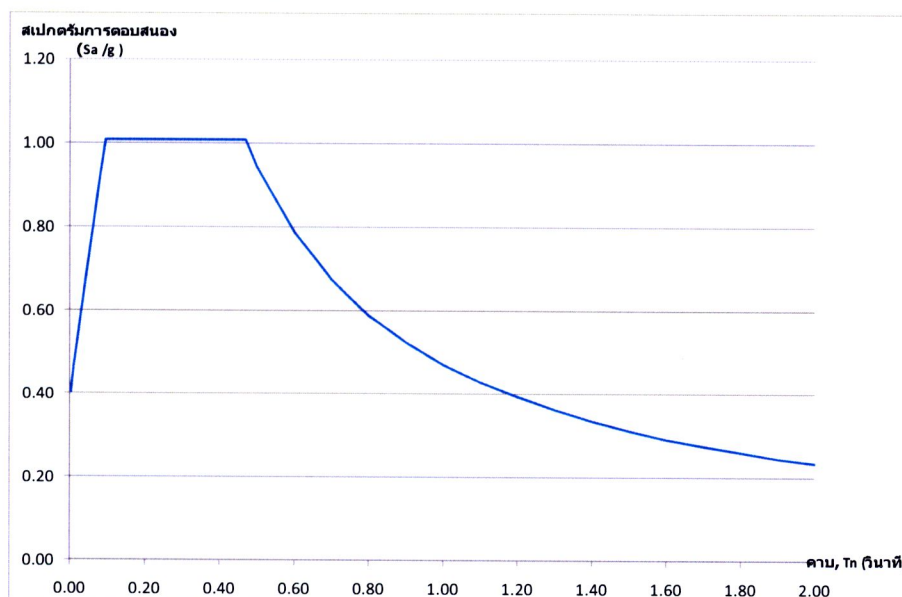
S_{M1} = ค่าความเร่งตอบสนองเชิงスペกตรัมที่คาบการสั่น ๑.๐ วินาที ที่ถูกปรับแก้เนื่องจากผลของชั้นดิน ณ ที่ตั้งอาคาร หน่วยเป็น ความเร่งจากแรงโน้มถ่วงโลก (g)

จากสมการ ๓.๑ และ ๓.๒ จะได้ค่า S_{MS} และ S_{M1} ดังนี้

$$S_{MS} = 1.00 \text{ g}$$

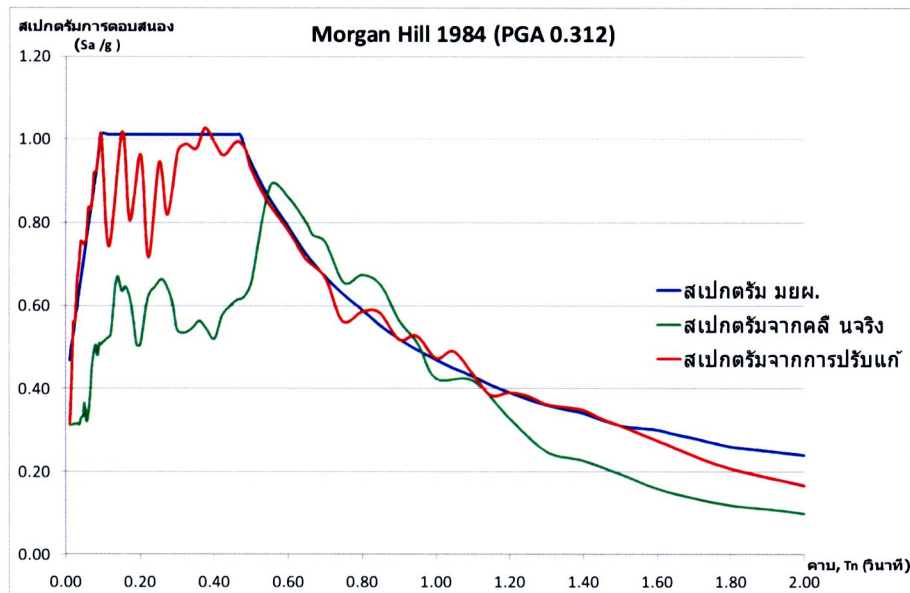
$$S_{M1} = 0.4 \text{ g}$$

๓.๕ ทำการสร้างกราฟสเปกตรัมการตอบสนองแบบใหม่จากการคำนวณเรื่อง S_{MS} และ S_{M1} ดังแสดงในรูป ๓.๑๗

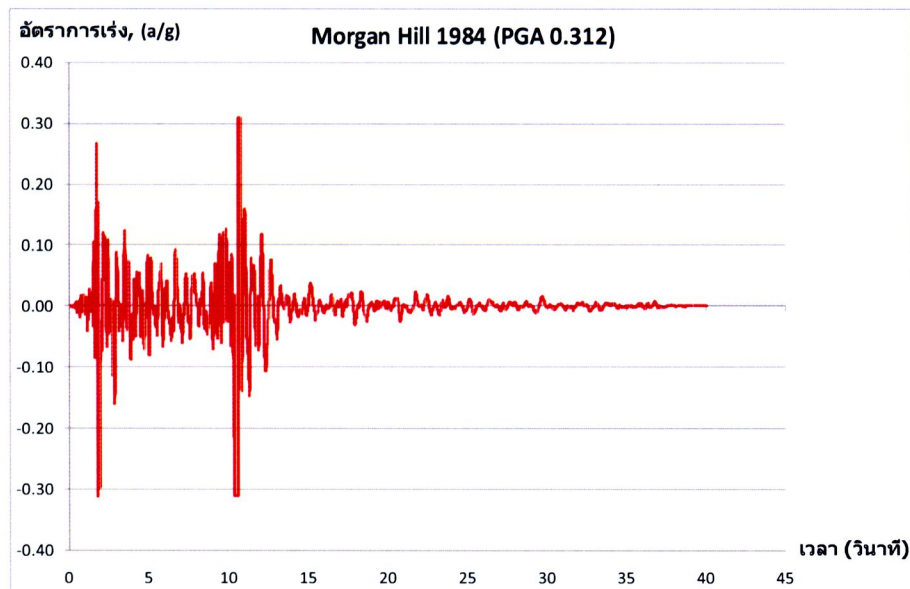


รูป ๓.๑๗ สเปกตรัมผลตอบของเจดี้ย์พระธาตุดอยสุเทพตามมาตรฐานกรมโยธาธิ์ฯ ๑๓๐๒

๖. นำคลื่นที่หาได้ในขั้นตอนที่ ๔ ไป matched ระหว่างสเปกตรัมจากมาตรฐานกรมโยธาธิ์ฯ การแลงเมือง (มยพ.) ในขั้นตอนที่ ๕ เพื่อให้ได้คลื่นจริงที่ได้เข้ากับลักษณะภูมิประเทศของประเทศไทยในเขตภาคเหนือตามความเป็นจริงมากที่สุด ที่คาดว่าจะเกิดขึ้นได้ เมื่อ matched แล้วจะได้สเปกตรัมและคลื่นแผ่นดินไหวดังรูป ๓.๑๘ ถึง ๓.๒๐

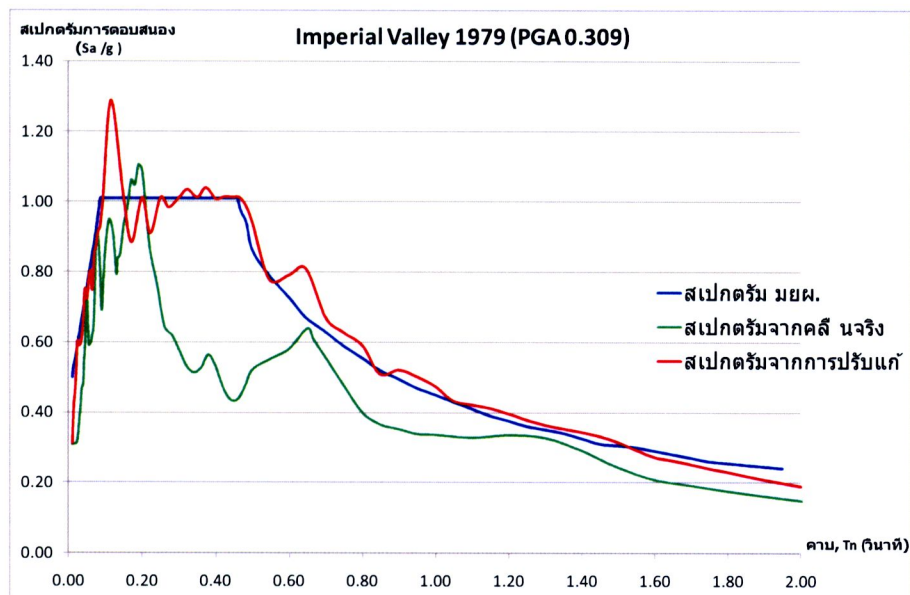


(ก) สเปกตรัมจากการปรับแก้คลื่นแผ่นดินไหว Morgan Hill 1984

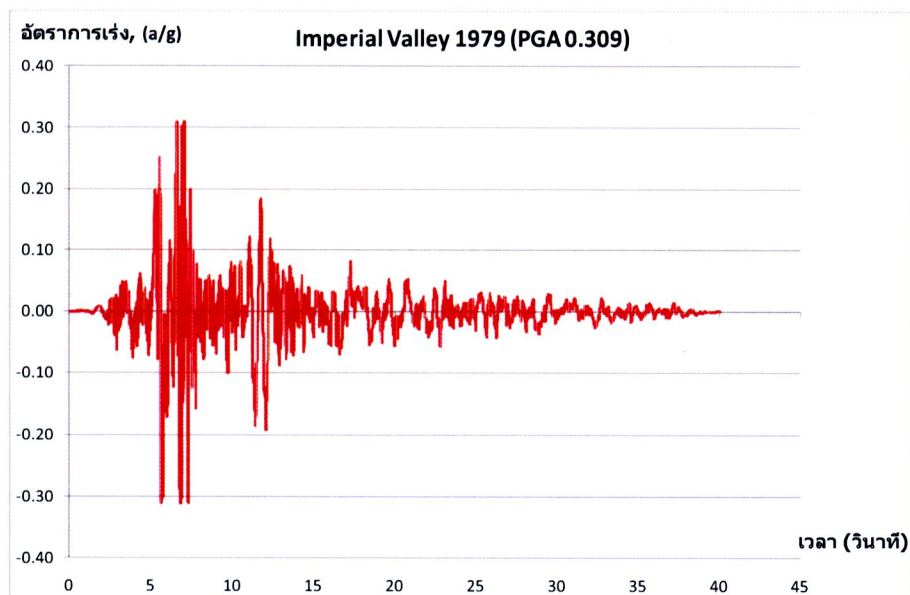


(ข) คลื่นแผ่นดินไหว Morgan Hill จากการปรับแก้

รูป ๓.๑๘ คลื่นเหตุการณ์แผ่นดินไหว Morgan Hill 1984 ที่ปรับเข้ารับพื้นที่กรุงเทพฯ

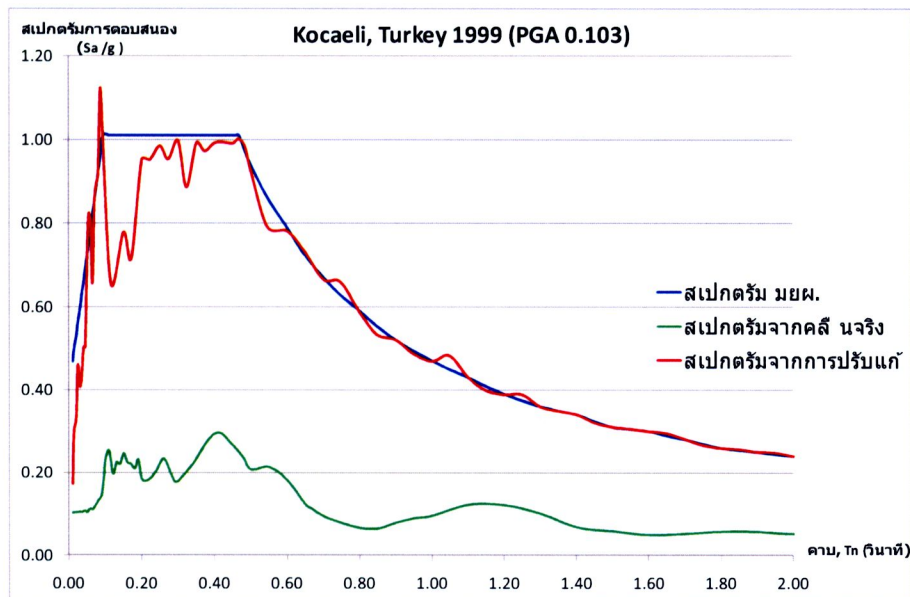


(ก) สเปกตรัมจากการปรับแก้คลีนแผ่นดินไหว Imperial Valley 1979

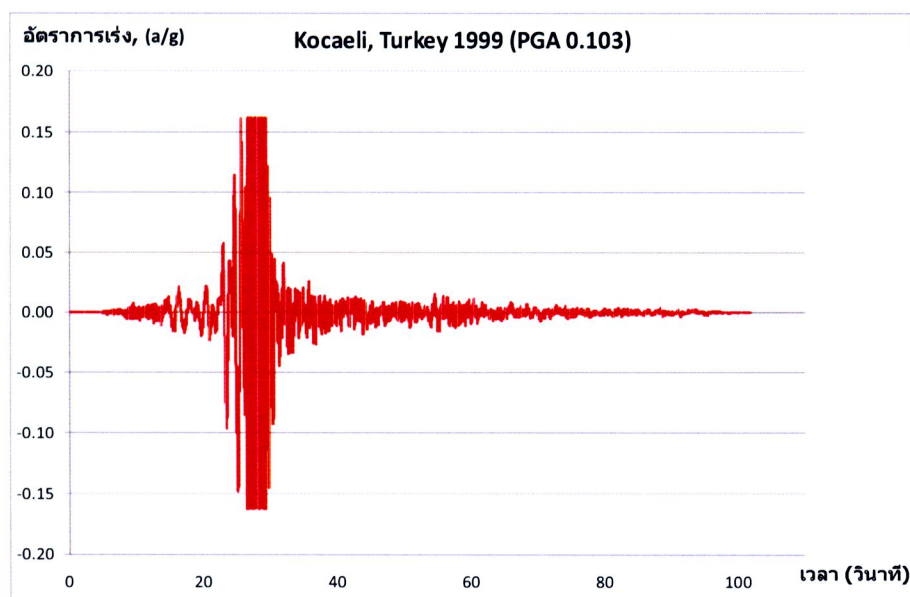


(ข) คลีน Imperial Valley จากการปรับแก้

รูป ๓.๑๙ คลีนเหตุการณ์แผ่นดินไหว Imperial Valley 1979 ที่ปรับเข้ากับพื้นที่วิเคราะห์



(ก) สเปกตรัมจากการปรับแก้คลีนแผ่นดินไหว Kocaeli, Turkey 1999 (PGA 0.103)



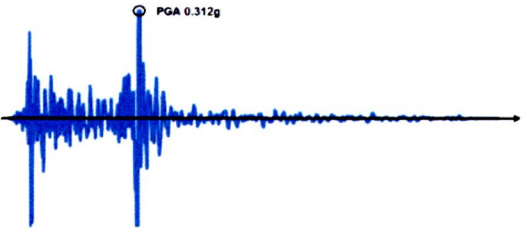
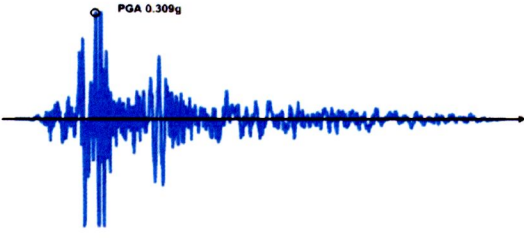
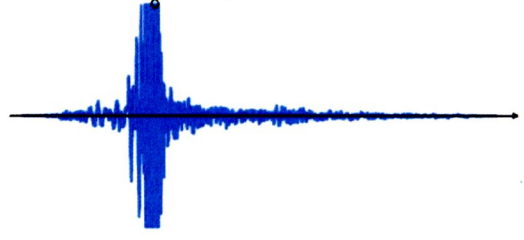
(ข) คลีน Kocaeli, Turkey จากการปรับแก้

รูป ๓.๒๐ คลีนเหตุการณ์แผ่นดินไหว Kocaeli, Turkey 1999 ที่ปรับเข้ากับพื้นที่วิเคราะห์

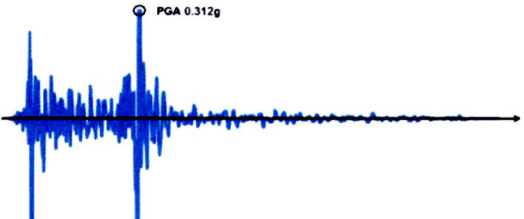
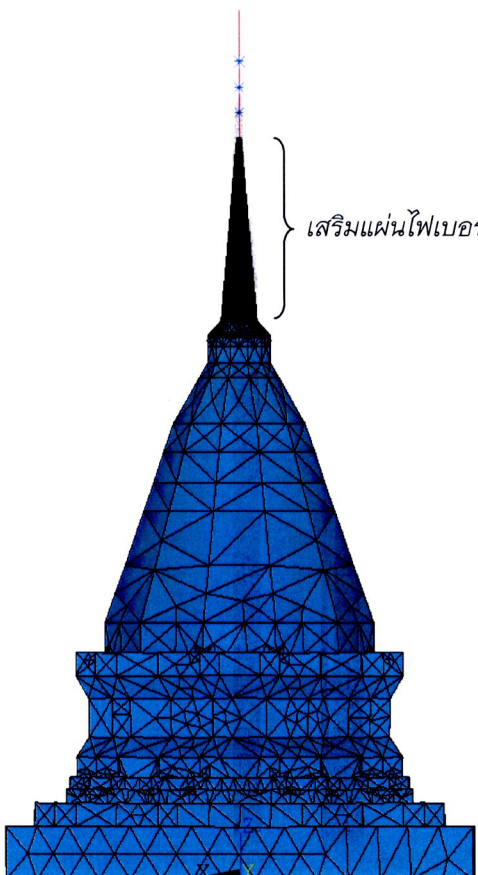
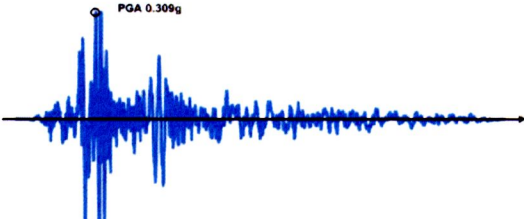
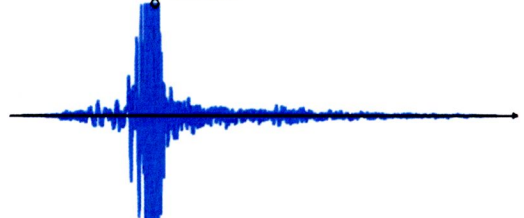
๓.๒.๒ วิเคราะห์พฤติกรรมในการรับแรงแผ่นดินไหว

การวิเคราะห์พฤติกรรมในการรับแรงแผ่นดินไหว จะใช้วิธี Time History Analysis เนื่องจากวิธีนี้หมายความว่า การวิเคราะห์พฤติกรรมของโครงสร้างที่ใกล้เคียงกับความเป็นจริงตามข้อมูลความเร่งของพื้นดิน กำหนดให้แรงแผ่นดินไหวกระทำในทิศทางเดียวที่ฐานของเจดีย์ คือ แนวราบทางแกน X คลื่นแผ่นดินไหวที่เลือกใช้จะใช้คลื่นที่มาจากการหัวข้อ ๓.๒.๑ โดยประกอบด้วยคลื่นแผ่นดินไหวที่ปรับแก้จาก Morgan Hill 1984, Imperial Valley และ Kocaelic, Turkey 1999 ตามลำดับ และนำทั้ง ๓ คลื่นที่ได้ไปทำการวิเคราะห์กับแบบจำลองที่ได้จากหัวข้อ ๓.๑ โดยตัวอย่างรูปแบบที่จะทำการวิเคราะห์แสดงดังตาราง ๓.๗/

ตาราง ๓.๗ แบบจำลองในการวิเคราะห์การรับแรงแผ่นดินไหวของเจดีย์

คลื่นแผ่นดินไหว	แบบจำลอง
<p>แผ่นดินไหวเกิดในระยะใกล้</p> <p>Morgan Hill</p> 	
<p>รอยเลื่อนแม่ท่า</p> <p>Imperial Valley</p> 	
<p>รอยเลื่อนแม่จัน</p> <p>Kocaeli, Turkey</p> 	

ตาราง ๓.๗ (ต่อ) แบบจำลองในการวิเคราะห์การรับแรงแผ่นดินไหวของเจดีย์

คลื่นแผ่นดินไหว	แบบจำลอง
<p>แผ่นดินไหวเกิดในระยะใกล้</p> <p>Morgan Hill</p> 	<p>แบบจำลอง</p> 
<p>รอยเลื่อนแม่ท่า</p> <p>Imperial Valley</p> 	<p>ผลลัพธ์จากการจำลองโดยใช้แบบจำลอง SRSM</p>
<p>รอยเลื่อนแม่จัน</p> <p>Kocaeli, Turkey</p> 	<p>ผลลัพธ์จากการจำลองโดยใช้แบบจำลอง SRSM</p>